

Taub, Rindler, kaj la gravito de statika plato

A.F.F. Teixeira *

Centro Brasileiro de Pesquisas Físicas
22290-180 Rio de Janeiro-RJ, Brazilo

3^a de Februaro de 2005

Abstract

Estu nefinhava 3D-a plato de unuforma nepremebla fluido, kun finhava diko, kune kun nefinhava 2D-a plano de unuforma maso meze la plato. Ekvacioj de Einstein estas ekzakte solvataj, ene la 3D-a maso. La solvo estas kunigata en amba/u flankoj al la malena metriko de vakuo de Taub. /Ciu valoro por la 2D-a maso, pozitiva a/u negativa, permesas perfektan kunigon. Anka/u la kunigo al la malena metriko de vakuo de Rindler estas montrata; se neperfekta kunigo estas akceptata, denove /ciu valoro de la 2D-a maso estas ebla. Kelke da niaj rezultoj kontra/udiras asertojn findatajn en la literaturo.

Abstract

Let be an infinite 3D plate of homogeneous incompressible fluid, with finite thickness, together with a 2D infinite homogeneous mass in the centre of the plate. Einstein equations are exactly solved, in the interior of the 3D mass. The solution is joined on both sides to the exterior vacuum metric of Taub. Every value for the 2D mass, positive or negative, allows a perfect junction. Also the joining to a vacuum metric of Rindler is shown; if an imperfect joining is allowed, then again every value of the 2D mass is possible. Some of our results contradict assertions found in the literature. The text is also available in English by e-mail, ask the author.

Key words: relativistic gravitation, exact solution, planar symmetry, incompressible fluid, infinite plate, plane layer, Taub metric, Rindler space, junction condition, hypergeometric function.

*teixeira@cbpf.br

1 Antaŭparolo

Ĝenerala relativeco estis preparata por similiĝi al la Newton-a gravito, kiam la gravita kampo estas malforta kaj la velo de korpoj estas malgranda. Ekzemple, la linigata solvo de statika vakuo kun sfera simetrio trovata de Einstein, kaj la ekzakta solvo de Schwarzschild, ambaŭ plenumas tiujn postulojn: ambaŭ produktas kampon de akcelo kiu kunrespondas al la Newton-a (Kepler-a) Gm/r^2 . Ankaŭ la cilindra metriko de Levi-Civita produktas graviton simila al la Newton-a, kies kampo de akcelo estas $2G\lambda/r$.

Surprizo okazis kiam ni studis la graviton de statika vakuo kun plana simetrio. La Newton-a gravito antaŭdiras unuforman kampon de akcelo, kun konstanta intenso $g = 2\pi G\sigma$. Tamen la ĝenerala relativeco ŝajnas antaŭdiri du malsamajn eblojn.

La unua eblo estus la metriko de Taub, kies Riemann-a tensoro estas nenula. Tiu metriko antaŭdiras neunuforman kampon de akcelo, kiu ordinare fortiĝas kun la distanco al la fonto. La dua eblo estus la *flata* spacotempo de Rindler, kies Riemann-a tensoro estas nula. Ankaŭ tiu metriko montras akcelon kiu ordinare fortiĝas kun la distanco al la fonto. Kelkaj aŭtoroj [1] diras ke $R^\mu{}_{\nu\rho\sigma} = 0$ signifas neekziston de gravito. Tamen la pliparto de la aŭtoroj [2] pensas ke la postulo de ekvivalento de Einstein donas graviton al la metriko de Rindler. (Ja, teknike la metriko de Rindler estas aparta okazo de la Taub-a, ĉar oni povas iri de Taub al Rindler per ŝanĝoj de koordinatoj.)

Do ni demandas: kiu, la Taub-a aŭ la Rindler-a, estas la korekta Einstein-a kunresponda de la Newton-a plana gravito? Por prepari respondon, oni serĉis fontojn kiuj donas ambaŭ metrikojn. Frue, 2D-aj fontoj estis studataj (ebenoj, aŭ tre maldikaj platoj), kun finhava surfaca denso de maso, surfaca premo, kaj surfaca streĉo [3].

Poste, 3D-aj fontoj (platoj kun finhava diko) estis studataj, de statikaj fluidoj. La ena metriko devus kuniĝi al la Taub-a aŭ al la Rindler-a malena metriko de vakuo [4].

Ni havas du procedojn por fari la kunigon. Je la unua, ĉiuj koeficientoj de la metriko, kaj ĝiaj unuaj derivaĵoj, devas esti kontinuaj tra la surfaco de disigo. Je la dua, nur la koeficientoj devas esti kontinuaj.

En ĉi tiu artikolo, ni studas du gravitajn fontojn, unu 2D-an kaj la alia 3D-an, samtempe, kaj ni havigas la ekzaktan solvon por la ena metriko. (La 2D-a fonto estas facile nuligata, se ni volas.) Poste ni kunigas tiun solvon al solvoj de vakuo. Unue ni kunigas al la metriko de Taub, kun ĉiuj $g_{\mu\nu}$ kaj $\partial g_{\mu\nu}/\partial x^\rho$ kontinuaj; poste ni kunigas al la metriko de Rindler, uzante la du eblaj procedoj por la kunigo.

2 Newton-a studo de la sistemo

Estu unuforma surfaca denso de maso σ_0 , kiu okupas la tuta plano $z = 0$. Ankaŭ estu plato kun diko $2h$, de nepremebla fluido kun unuforma 3D-a denso $\rho = \text{konst}$, okupante la tuta spaco $-\infty < \{x, y\} < \infty$, $-h < z < h$. La tri parametroj $\{\sigma_0, \rho, h\}$ estas sendependaj. La simetrio de ĉi tiu fizika sistemo permesas skribi ĉiujn funkciojn kiel de $z > 0$ nur. La esprimoj por $z < 0$ estas poste facile havataj. Ni konsideras $\rho > 0$, sed σ_0 povas esti $>, =, < 0$.

Ene la plato, la potencialo ϕ kaj la premo p plenumas

$$\phi_{int}''(z) = 4\pi G\rho, \quad p_{Nw}'(z) = -\rho\phi_{int}'(z), \quad 0 < z < h, \quad (1)$$

kie $'$ signifas d/dz ; kaj en la malena vakuo ni havas

$$\phi_{ext}''(z) = 0, \quad p_{Nw}(z) = 0, \quad z \geq h. \quad (2)$$

Ni facile integras tiujn ekvaciojn. La premo, la potencialo, kaj la unua derivivo de la potencialo devas esti kontinuaj tra la surfaco $z = h$,

$$p_{Nw}(h) = 0, \quad (3)$$

$$\phi_{int}(h) = \phi_{ext}(h) = 0, \quad (4)$$

$$\phi_{int}'(h) = \phi_{ext}'(h). \quad (5)$$

Ene la plato ($|z| < h$) la Newton-a potencialo, la Newton-a premo de la fluido, kaj la kampo de akceloj (turnata al la centro de la plato kiam $\sigma_0 + 2\rho z > 0$) do estas

$$\phi_{int}(z) = -2\pi G \left(\sigma_0(h - z) + \rho(h^2 - z^2) \right), \quad 0 < z < h, \quad (6)$$

$$p_{Nw}(z) = 2\pi G\rho \left(\sigma_0(h - z) + \rho(h^2 - z^2) \right), \quad (7)$$

$$g_{int}(z) = 2\pi G(\sigma_0 + 2\rho z). \quad (8)$$

Malene la plato ($|z| \geq h$), la Newton-a potencialo kaj la unuforma kampo de akceloj g (turnata al la plato kiam $\sigma_0 + 2\rho h > 0$) estas

$$\phi_{ext}(z) = g(z - h), \quad z \geq h, \quad (9)$$

$$g := 2\pi G\sigma, \quad \text{kie} \quad (10)$$

$$\sigma := \frac{1}{2\pi G}\phi'(h) = \sigma_0 + 2\rho h \quad (11)$$

estas la tuta surfaca masdenso de la sistemo. Kiam $\sigma_0 = -2\rho h$, la gravito el la pozitiva kaj el la negativa maso nulîgas ($\sigma = 0$), kaj malena gravito neekzistas: $g = 0$.

Apud la centro de la plato $z = 0^+$ ni findas

$$\phi_{int}(0^+) = -2\pi Gh(\sigma_0 + \rho h), \quad \phi_{int}'(0^+) = 2\pi G\sigma_0, \quad (12)$$

$$p_{Nw}(0^+) = 2\pi G\rho h(\sigma_0 + \rho h), \quad p_{Nw}'(0^+) = -2\pi G\rho\sigma_0. \quad (13)$$

Atentu ke la surfaca masdenso $\sigma_0 \neq 0$ sur la plano $z = 0$ faras nekontinuo de la derivaĵoj ϕ_{int}' kaj p_{Nw}' tra la plano; por $z \rightarrow 0$ je la dekstra ni havas

$$\sigma_0 := \frac{1}{2\pi G} \phi_{int}'(0^+) = -\frac{1}{2\pi G\rho} p_{Nw}'(0^+); \quad (14)$$

tiu ĉi rezulto estos uzata en la Einstein-a traktado.

3 Ena Einstein-a solvo

Ĉiu statika metriko kun plana simetrio estas skribbla kiel

$$ds^2 = e^{2a(z)}(dx^0)^2 - e^{2b(z)}(dx^2 + dy^2) - dz^2. \quad (15)$$

Por $T^\mu_\nu = \delta^\mu_\nu(\rho c^2, -p, -p, -p)$, la Einstein-aj ekvacioj estas

$$G_0^0 = 2b'' + 3b'^2 = -K\rho c^2, \quad K := 8\pi G/c^4, \quad (16)$$

$$G_x^x = G_y^y = a'' + b'' + a'^2 + a'b' + b'^2 = Kp, \quad (17)$$

$$G_z^z = b'^2 + 2a'b' = Kp; \quad (18)$$

kaj la identoj de Bianchi donas

$$p' = -(p + \rho c^2)a'. \quad (19)$$

Por $\rho = \text{konst} > 0$, la (16) donas la generalan solvon de $b(z)$:

$$e^{b(z)} = \alpha \cos^{2/3}(\beta + \kappa z), \quad \kappa := \sqrt{6\pi G\rho/c^2} \equiv \sqrt{3K\rho c^2/4}, \quad (20)$$

kie α kaj β estas nedimensaj konstantoj. Ni elektas $b(h) = 0$ kaj findas $\alpha = \sec^{2/3}(\beta + \kappa h)$, do

$$e^{b(z)} = \left(\frac{\cos(\beta + \kappa z)}{\cos(\beta + \kappa h)} \right)^{2/3}; \quad (21)$$

notoj pri β estos baldaŭ donataj.

Ankoraŭ kun $\rho = \text{konst}$, la (19) donas $p(z)$ kiel funkcio de $a(z)$:

$$p(z) = \rho c^2 \left(e^{-a(z)} - 1 \right), \quad (22)$$

kie ni havos $p(h) = 0$ kiam ni elektos $a(h) = 0$.

Ni portas (22) kaj (21) al (18), kaj havigas difekvacion de unua ordo por $e^{a(z)}$,

$$2b'(e^a)' + \left(b'^2 + \frac{4}{3}\kappa^2 \right) e^a = \frac{4}{3}\kappa^2, \quad \text{kun } b'(z) = -\frac{2}{3}\kappa \tan(\beta + \kappa z); \quad (23)$$

la integrado de (23) kun $a(h) = 0$ donas

$$e^{a(z)} = 1 + \frac{1}{3}\sin^2(\beta + \kappa z) \left\{ \mathcal{F}\left(\sin^2(\beta + \kappa z)\right) - \frac{\sin(\beta + \kappa h) \cos^{1/3}(\beta + \kappa h)}{\sin(\beta + \kappa z) \cos^{1/3}(\beta + \kappa z)} \mathcal{F}\left(\sin^2(\beta + \kappa h)\right) \right\}, \quad (24)$$

kie

$$\mathcal{F}(x) := {}_2F_1\left[1, \frac{2}{3}; \frac{3}{2}; x\right], \quad (25)$$

estante ${}_2F_1$ la hipergeometria serio de Gauss

$$\begin{aligned} {}_2F_1[a, b; c; x] &:= 1 + \frac{a b x}{c \cdot 1!} + \frac{a(a+1) b(b+1) x^2}{c(c+1) \cdot 2!} \\ &+ \frac{a(a+1)(a+2) b(b+1)(b+2) x^3}{c(c+1)(c+2) \cdot 3!} + \dots \end{aligned} \quad (26)$$

La (21), (24) kaj (22) obeas la (17). La tri parametroj $\{\beta, \rho, h\}$ estas sendependaj, kaj tute karakterizas la sistemon.

Ni volas havi Einstein-ajn parametrojn Σ_0, Σ kiujn kunrespondas al la Newton-naj σ_0, σ . Por malforta kampo okazas $a'(z) \approx \phi'(z)/c^2$, kiu sugestas difini, eĉ por forta kampo,

$$\Sigma_0(\beta, \rho, h) := \frac{3\rho}{\kappa^2} a'(0^+), \quad (27)$$

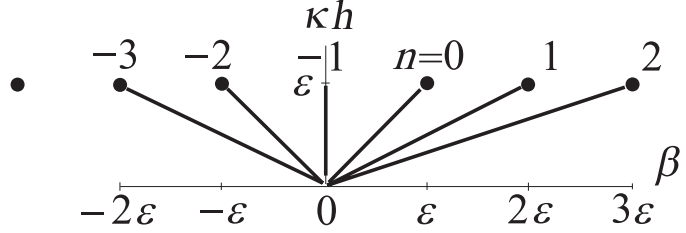
$$\Sigma(\beta, \rho, h) := \frac{3\rho}{\kappa^2} a'(h) = -\frac{3\rho}{\kappa^2} b'(h) = \frac{\rho}{\kappa} \tan(\beta + \kappa h). \quad (28)$$

Por malforta kampo (se ambaŭ β kaj κh estas malgrandaj, la (24) donas $a'(0^+) \approx \kappa(\beta - \kappa h)/3$), ni findas

$$\Sigma_0(\beta, \rho, h) \approx \frac{\rho}{\kappa} (\beta - \kappa h), \quad (29)$$

$$\Sigma(\beta, \rho, h) \approx \frac{\rho}{\kappa} (\beta + \kappa h) \approx \Sigma_0 + 2\rho h. \quad (30)$$

La bildo 1 donas kelkajn kurbojn $\Sigma_0/\rho h = \text{konst}$ kiel funkcio de β kaj κh , por β kaj κh ambaŭ malgrandaj.

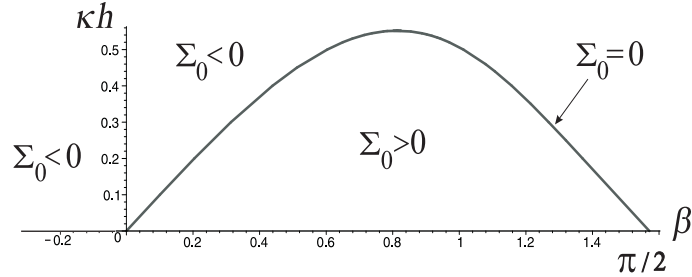


Bildo 1 Komenco de kelkaj kurboj $\Sigma_0/\rho h = n$ kiel funkcio (29) de malgrandaj β kaj κh . Ni vidas ke se $\beta = \kappa h$ ni havos $\Sigma_0 = 0$, se $\beta = 0$ ni havos $\Sigma_0 = -\rho h$, kaj se $\beta = -\kappa h$ ni havos $\Sigma_0 = -2\rho h$.

Ni povas reskribi la (27) kiel

$$\Sigma_0(\beta, \rho, h) := \frac{3\rho}{\kappa} \left(1 + \frac{1}{3} \tan^2 \beta - e^{-a(0)} \right) \cot \beta. \quad (31)$$

Per komputilo, ni havigas el (31) la duopojn $\{\beta, \kappa h\}$ kiuj faras $\Sigma_0 = 0$, prezentataj en bildo 2. Ĉi tiu bildo montras ankaŭ la regionojn kies duopoj donas pozitivan masdenson Σ_0 , kaj Σ_0 negativan.



Bildo 2 La kurbo donas la duopojn $\{\beta, \kappa h\}$ por sistemoj kun masdenso $\Sigma_0 = 0$. Sub la kurbo estas la duopoj $\{\beta, \kappa h\}$ kiuj donas pozitivan denson Σ_0 . Kaj super la kurbo, inkluzive kun negativaj β , estas la duopoj $\{\beta, \kappa h\}$ kiuj donas negativan masdenson Σ_0 .

Poste ni kunigos la enan metrikon (15), (21), (24) al malenaj metrikoj, de vakuo. Du solvoj de vakuo ekzistas: la de Taub, kaj la de Rindler. Ĝi estos studataj malkune en sekcioj 4 kaj 5. La kunrespondaj kunados al la enaj metrikoj estos traktataj en sekcioj 6 kaj 7.

4 Vakuo de Taub

Ni nun studu tre simplan fizikan sistemon: la vakuan graviton el unuforma surfaca masdenso Σ_0 , kiu etendiĝas sur la plano $z = 0$. Newton-e, la masdenso produktas potencialon (9), (10) $\phi(z) = g|z|$, $g := 2\pi G\sigma_0$. Se σ_0 estas pozitiva ni havos kampon de konstanta altira akcelo $g > 0$, kaj se $\sigma_0 < 0$ la kampo estus ankaŭ konstanta, sed puŝa ($g < 0$). Ni serĉas metrikojn de vakuo kiuj kunrespondas al tiu sistemo.

Por vakuo ($T^\mu_\nu = 0$), la metriko (15) obeas

$$G^0_0 = 2b'' + 3b'^2 = 0, \quad (32)$$

$$G^x_x = G^y_y = a'' + b'' + a'^2 + a'b' + b'^2 = 0, \quad (33)$$

$$G^z_z = (b' + 2a')b' = 0. \quad (34)$$

La (34) havas du solvojn: $b' = -2a'$, kiu ni ĵus studos, aŭ $b' = 0$, kiu ni studos en sekcio 5.

Se $b' = -2a'$ la (32) kaj la (33) estas same, kaj havas la generalan solvon (T signifas Taub)

$$e^{a_T(z)} = \left(\frac{r}{p + qz} \right)^{1/3}, \quad p, q, r = \text{konst}, \quad (35)$$

$$e^{b_T(z)} = (p + qz)^{2/3}. \quad (36)$$

Por havi kampon de surfaca masdenso Σ_0 etendiĝata sur la plano $z = 0$, ni postulas $p = r = 1$, $q = -3g/c^2$, kiuj donas la metrikon de Taub

$$ds_T^2 = \left(1 - \frac{3g}{c^2}|z| \right)^{-2/3} c^2 dt^2 - \left(1 - \frac{3g}{c^2}|z| \right)^{4/3} (dx^2 + dy^2) - dz^2, \quad g := 2\pi G\Sigma_0. \quad (37)$$

Je la (37), ĉiu valoro por la masdenso Σ_0 estas ebla.

La (37) havas nenulan kurbumon, ĝia skalo de Kretschmann estas

$$\mathcal{K}(z) := R^{\mu\nu\rho\sigma} R_{\mu\nu\rho\sigma} = \frac{64}{27} \left(\frac{c^2}{3g} - |z| \right)^{-4}. \quad (38)$$

Ni unue studos la okazon kun Σ_0 pozitiva ($g > 0$), kiu produktas altiran gravitan kampon, poste ni studos la okazon kun $\Sigma_0 < 0$.

Se $\Sigma_0 > 0$, (38) kun $g > 0$ montras ke $\mathcal{K}(z)$ kreskas unuforme de $\mathcal{K}(0) = 192g^4/c^8$ al $\mathcal{K}(c^2/(3g)) = \infty$. Ĉi tiu sugestas ke la kampo iĝas pli forta kun la distanco al la fonto. Tiu malkomforto indigas studon de geodeziaj movoj, kiu ni ĵus faros.

Ni studu la movon de test-partiklo kiu, kiam $t = 0$, estas senmove je $0 < z_0 < c^2/(3g)$. La geodeziaj ekvacioj donas $dx/ds = dy/ds = 0$, kaj

$$\frac{cdt}{ds} = \frac{(1 - z/z_{max})^{2/3}}{(1 - z_0/z_{max})^{1/3}}, \quad \frac{dz}{ds} = -\sqrt{\left(\frac{1 - z/z_{max}}{1 - z_0/z_{max}}\right)^{2/3} - 1}, \quad z_{max} := \frac{c^2}{3g}. \quad (39)$$

El la (39) ni havigas dz/dt , kaj la fizikan velon de falo

$$v_{fiz}(z) := \frac{1}{\sqrt{g_{00}}} \frac{dz}{dt} = -c \sqrt{1 - \left(\frac{1 - z_0/z_{max}}{1 - z/z_{max}}\right)^{2/3}} \quad (= -c \tanh \xi(z)); \quad (40)$$

vidu ke la modulo de $v_{fiz}(z)$ kreskas unuforme de 0 ĝis iu valoro $\leq c$. Se la partiklo ekveturas de $z_0 \approx z_{max}$, ĝi falas kun $v_{fiz} \approx \text{konst} \approx -c$, la velo de la lumo.

Se ni kalkulas d^2z/dt^2 kaj postulas $dz/dt = 0$, ni havigas la akcelon de senmova korpo,

$$\frac{d^2z}{dt^2} = -\frac{g}{(1 - z/z_{max})^{5/3}}; \quad (41)$$

vidu ke ties akcelo ne estas la fiksa Newton-a $g > 0$, sed estas $g/(1 - |z|/z_{max})^{5/3}$, kiu plifortiĝas kun $|z|$. Apud $z = z_{max}$, la akcelo de falo nefinhaviĝas.

Ni integras dz/dt kaj findas

$$t(z) = \frac{c}{8g} (1 - z_0/z_{max})^{4/3} \left(3\xi + \left(\frac{3}{2} + \cosh^2 \xi\right) \sinh 2\xi \right), \quad (42)$$

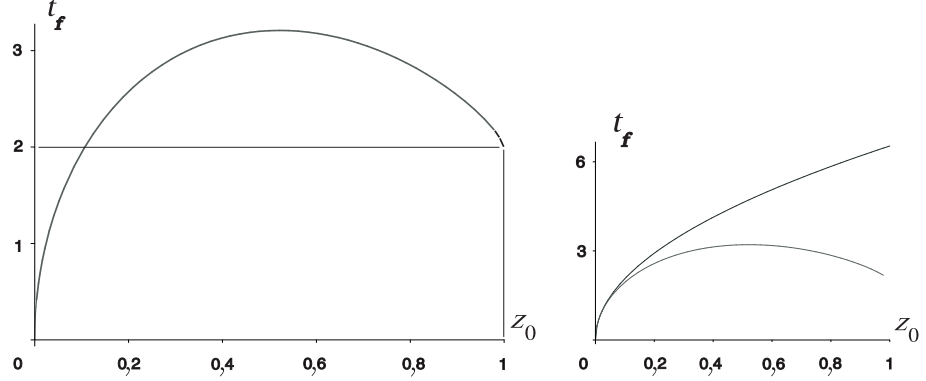
$$\cosh \xi(z) = \left(\frac{1 - z/z_{max}}{1 - z_0/z_{max}} \right)^{1/3}; \quad (43)$$

tiu ĉi estas la tempo de falo de $z_0 \in (0, z_{max})$ ĝis $z \in (0, z_0)$. Se $gz_0 \ll c^2$, la (42) donas $z = z_0 - \frac{1}{2}gt^2$, kiu estas la Newton-a rezulto.

La tuta tempo de falo de test-partiklo, de $z = z_0 < z_{max}$ al $z = 0$ estas

$$t_f(z_0) = \frac{c}{8g} \left(3\alpha^4 \operatorname{sech}^{-1} \alpha + \sqrt{1 - \alpha^2} (2 + 3\alpha^2) \right), \quad \alpha(z_0) := (1 - z_0/z_{max})^{1/3}. \quad (44)$$

Por $gz_0 \ll c^2$ la (44) donas $t_f = \sqrt{2z_0/g}$: estas vere, en la Newton-a gravito t_f kreskas unuforme kun z_0 . Sed en la Einstein-a gravito estas malsame; vidu bildojn 3, kiuj montras $t_f(z_0)$. Tie ni vidas kiel la plifortiĝo de la kampo kun la distanco permesas kuriozajn transpasojn.



Bildoj 3 Pri la altira kampo de Taub: la unua bildo donas la tempon de falo t_f (ero= $c/(8g)$) de korpo kiu ekfalas, komence senmova, de z_0 (ero= z_{max}). Vidu ke $t_f(z_0)$ malkreskas se $z_0 > 0,53$. Sekve, korpo kiu ekfalas de $z_0 > 0,53$ povas transpasi, kaŭze la pli forta komenca akcelo, aliajn korpojn kiuj ekfalas de $z_0 < 0,53$. Ekzemple, korpo kiu ekveturas de $z_0 = z_{max}$ atingos $z = 0$ post $t_f = 2$ (same $t_f = c/(4g)$), preskaŭ samtempe al alia korpo kiu ekveturas de $z_0 = \frac{1}{10}z_{max}$. La dua bildo prezentas la Newton-an antaŭvidon por la tempo de falo ($t_f = \sqrt{2z_0/g}$), kune kun la de Taub (44), por komparado.

Simpla kalkulo montras ke se $g \approx 10\text{m/s}^2$ (tera gravito) kaj se la partiklo ekveturas apud la maksimuma distanco $|z|_{max} = c^2/(3g) \approx 4$ monat-lumoj, ĝi atingos $z = 0$ post $t_f \approx 3$ monatoj, kun velo $d|z|/dt \approx -c$. Pli generale, se $z_0 \approx z_{max}$ oni havos $z_{max} \approx (4/3)ct_f$. Rimarku ke t_f estas *koordinata* tempo de falo; la *fizika* tempo de falo, kiu estas difinata per $dt_{fiz} := \sqrt{g_{00}}dt$, estus $\approx z_{max}/c$ se $z_0 \approx z_{max}$.

Ni nun studos la okazojn kun $\Sigma_0 < 0$. Se $g < 0$ en (38), ni vidas ke $\mathcal{K}(z)$ malkreskas unuforme de $\mathcal{K}(0) = 192g^4/c^8$ ĝis $\mathcal{K}(\pm\infty) = 0$. Ni vidas, el la (37) kun $g < 0$, ke la puŝa metriko de Taub validas de $z = 0$ ĝis $|z| = \infty$. Ni domandas, kiel estas la movo de test-partiklo ekveturante kiam $t = 0$, komencante senmova de $z = z_0 > 0$? La geodeziaj ekvacioj donas

$$\frac{cdt}{ds} = \frac{(1 + 3g'z/c^2)^{2/3}}{(1 + 3g'z_0/c^2)^{1/3}}, \quad \frac{dz}{ds} = \sqrt{\left(\frac{1 + 3g'z/c^2}{1 + 3g'z_0/c^2}\right)^{2/3} - 1}, \quad g' := 2\pi G|\Sigma_0| > 0. \quad (45)$$

Havante dz/dt ni findas, por $z = z_0$,

$$\frac{d^2z}{dt^2} = \frac{g'}{(1 + 3g'z/c^2)^{5/3}}; \quad (46)$$

ni vidas ke senmova korpo sub la Taub-a puŝa akcelo sentas, ne la fiksa Newton-a g' , sed $g'/(1 + 3g'|z|/c^2)^{5/3}$, kiu malfortiĝas kun la distanco $|z|$ de la korpo al la fonto.

Ni demandas se, kiel en la altira okazo, denove eblas transpason inter korpoj kiuj ekveturis samtempe, komencante senmove de nesimilaj z . Por havi respondon, ni integras dz/dt kaj findas

$$t(z) = \frac{c}{8g'}(1 + 3g'z_0/c^2)^{4/3} \left(3\xi + \left(\frac{3}{2} + \cosh^2\xi \right) \sinh 2\xi \right), \quad (47)$$

$$\cosh\xi(z) := \left(\frac{1 + 3g'z/c^2}{1 + 3g'z_0/c^2} \right)^{1/3}, \quad (48)$$

kiu estas la pasanta tempo inter la pozicio $z_0 > 0$ kaj la $z > z_0$, de la korpo. Kiam ni elektas iu ajn valorojn por $g' > 0$ kaj por $z > 0$, kaj ni studas la kurbon (47) de t kontraŭ $z_0 \in (0, z)$, ni vidas ke denove la eblo de transpaso okazas. Se $g'z \ll c^2$ la (47) donas $z = z_0 + \frac{1}{2}g't^2$, kiu estas la Newton-a rezulto.

La fizika velo de puŝo estas

$$v_{fiz}(z) := \frac{1}{\sqrt{g_{00}}} \frac{dz}{dt} = c \sqrt{1 - \left(\frac{1 + 3g'z_0/c^2}{1 + 3g'z/c^2} \right)^{2/3}} \quad (= c \tanh\xi(z)), \quad (49)$$

kiu kreskas unuforme de 0 (kiam $z = z_0$) ĝis c (kiam $z \rightarrow \infty$).

Resume, la altira kampo de Taub ((37) kun $g > 0$) faras la trispacon esti plato kun diko $2|z|_{max} = 2c^2/(3g)$; des pli malproksime al la fonto, des pli forta estas la kampo. Kontraŭe, la puŝa kampo de Taub ((37) kun $g < 0$) ampleksas ĝis $|z| = \infty$; des pli malproksime al la fonto, des pli malforta estas la kampo.

5 Vakuo de Rindler

Ni revenas al la ekvacioj de vakuo (32)–(34). La okazo $b' = 0$ donas $b = \text{konst}$, la (32) estas plenumata, kaj la (33) iĝas plisimple $a'' + a'^2 = 0$, kies generala solvo estas (R subskribata signifas Rindler)

$$e^{a_R(z)} = P + Qz, \quad P, Q = \text{konst}, \quad (50)$$

$$e^{b_R} = R = \text{konst}. \quad (51)$$

Simile kiel en sekcio 4, ni havigas la vakuan metrikon de Rindler por surfaca unuforma masdenso Σ_0 sur la plano $z = 0$:

$$ds_R^2 = \left(1 + \frac{g|z|}{c^2}\right)^2 c^2 dt^2 - dx^2 - dy^2 - dz^2, \quad g := 2\pi G \Sigma_0. \quad (52)$$

Ni unue studas la okazo Σ_0 pozitiva ($g > 0$), kiu produktas altiran kampon de akcelo. Kontraŭe al Taub kun $\Sigma_0 > 0$, la altira metriko de Rindler validas de $z = 0$ ĝis $|z| = \infty$; en ĉi tiu aspekto la altira kampo de Rindler estas simila al la ordinara Newton-a kampo. Ni konsideras test-partiklon senmovan en $z = z_0 > 0$ kiam $t = 0$, poste ĝi libere falas laŭ la direkto al la plano $z = 0$. La geodeziaj ekvacioj donas

$$\frac{cdt}{ds} = \frac{1 + gz_0/c^2}{(1 + gz/c^2)^2}, \quad \frac{dz}{ds} = -\sqrt{1 - \left(\frac{1 + gz/c^2}{1 + gz_0/c^2}\right)^2}. \quad (53)$$

Ni integras dz/dt kaj findas

$$z(t) = \frac{c^2}{g} \left(\left(1 + \frac{gz_0}{c^2}\right) \text{sech} \frac{gt}{c} - 1 \right). \quad (54)$$

Se $gt \ll c$, ni findas $z(t) \approx z_0 - \frac{1}{2}g(1 + gz_0/c^2)t^2$; ĉi tio montras ke la altira kampo de akcelo de Rindler havas formon $g(1 + g|z|/c^2)$, do ĝi kreskas linie kun $|z|$. Se ni faras $z = 0$ en (54), ni havigas la tempon t_f de falo

$$t_f(z_0) = \frac{2c}{g} \sinh^{-1} \sqrt{\frac{gz_0}{2c^2}}. \quad (55)$$

Vidu ke des pli granda estas la komenca distanco z_0 , des pli granda estas t_f , simile al la Newton-a rezulto; sed kontraŭe al la altira Taub, kiu permesas la transpasojn vidatajn en la bildoj 3. La fizika velo de falo estas

$$v_{fiz}(z) := \frac{1}{\sqrt{g_{00}}} \frac{dz}{dt} = -c \sqrt{1 - \left(\frac{1 + gz/c^2}{1 + gz_0/c^2}\right)^2} \quad (= -c \tanh \frac{gt}{c}); \quad (56)$$

vidu ke $|v_{fiz}|$ kontinue kreskas dum la falo; ĝi atingas $\approx c$ apud $z = 0$ se $gz_0 \gg c^2$.

Ni nun studas la okazon $\Sigma_0 < 0$. La (52) kun $g < 0$ montras ke g_{00} estas nula en $|z| = z_{max} := c^2/|g|$. Test-partiklo, senmova en $z_0 > 0$ (sed $< z_{max}$) kiam $t = 0$, estas poste puŝata kontraŭ la direkto al la plano $z = 0$, kiel

$$z(t) = z_{max} \left(1 - \left(1 - \frac{z_0}{z_{max}} \right) \operatorname{sech} \frac{g't}{c} \right), \quad g' := 2\pi G |\Sigma_0|. \quad (57)$$

Vidu ke, se $g't \ll c$, okazas $z(t) \approx z_0 + \frac{1}{2}g'(1 - z_0/z_{max})t^2$; ĉi tio montras ke la puŝa kampo de akcelo de Rindler havas formon $g'(1 - |z|/z_{max})$, do ĝi malkreskas kun $|z|$. Ni inversigas la (57) kaj havigas la daŭron de movo, de $z_0 > 0$ ĝis $z > z_0$,

$$t(z) = \frac{c}{g'} \cosh^{-1} \left(\frac{z_{max} - z_0}{z_{max} - z} \right). \quad (58)$$

Vidu ke t malkreskas unuforme kun la kresko de z_0 , se ni fiksas ĉiujn aliajn variantojn; do la transpasoj kiuj okazas en la puŝa kampo de Taub ne okazas en la puŝa kampo de Rindler. Vidu ankaŭ ke la partiklo atingas $z = z_{max}$ nur kiam $t = \infty$. La fizika velo de puŝo estas

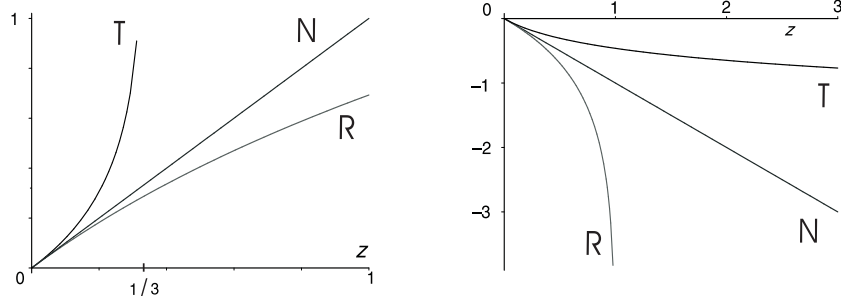
$$v_{fiz}(z) := \frac{1}{\sqrt{g_{00}}} \frac{dz}{dt} = c \sqrt{1 - \left(\frac{z_{max} - z}{z_{max} - z_0} \right)^2} \quad (= c \tanh \frac{g't}{c}); \quad (59)$$

vidu ke $v_{fiz}(z)$ kreskas kontinue de 0 en $z = z_0$ ĝis $\approx c$ apud $z = z_{max}$.

Ni vidas ke la partiklo atingas finhava z_{max} kun finhava velo c post nefinhava tempo; ĉi tiu fakto estas simila al la falo de test-partiklo sur la radio de Schwarzschild. Ĝi okazas ĉar $g_{00} = (1 - |z|/z_{max})^2$ etendas al nulo kiam $|z| \rightarrow z_{max}$.

Ni komparu la Taub-an (T) al la Rindler-a (R) kampo:

- la altiraj kampoj, kaj T kaj R, ambaŭ fortiĝas kun la distanco al la fonto;
- la puŝaj kampoj, kaj T kaj R, ambaŭ malfortiĝas kun la distanco al la fonto;
- la puŝa kampo T, kaj la altira kampo R, ambaŭ ampleksas la tutan trispacon $-\infty < z < \infty$;
- la altira kampo T, kaj la puŝa kampo R, ambaŭ ampleksas nur la platon $-z_{max} < z < z_{max}$; je T estas $z_{max} = c^2/(3g)$, kaj je R estas $z_{max} := c^2/|g|$. Vidu bildojn 4, kiu komparas la Newton-an potencialon al la Taub-a kaj la Rindler-a $\log(\sqrt{g_{00}})$.



Bildoj 4 Maldekstre, por $\Sigma_0 > 0$ ($g > 0$), estas la altiraj statikaj potencialoj de Newton ($N = z$), de Taub ($T = -\frac{1}{3}\ln(1 - 3z)$), kaj de Rindler ($R = \ln(1 + z)$), por komparado; vidu ke T nefinhaviĝas en $z = 1/3$. Ĉi tie ni uzis $c = g = 1$. Dekstre, por $\Sigma_0 < 0$ ($g < 0$), estas la puŝaj statikaj potencialoj de Newton ($N = -z$), de Taub ($T = -\frac{1}{3}\ln(1 + 3z)$), kaj de Rindler ($R = \ln(1 - z)$), por komparado; vidu ke R nefinhaviĝas en $z = 1$. Ĉi tie ni uzis $c = -g = 1$.

Atentu ke la tensoro de Riemann de la metriko de Rindler (52) estas nula; do kelkaj aŭtoroj [1] opiniis ke tiu metriko ne prezentas graviton. Tamen, se la kampoj estas malfortaj, ni vidis ke test-partikloj sub la metriko de Rindler veturas simile al sub la Newton-a gravito (kaj por $\Sigma_0 > 0$, kaj por < 0); tiu ĉi faris plimulte aŭtoroj [2] opinii ke $R^\mu_{\nu\rho\sigma} = 0$ ne implikas mankon de gravito.

6 Plato kaj vakuo de Taub

Ni nun kunigas la platon kun masdenso $\rho \neq 0$, kun metrikaj koeficientoj (20) kaj (24), al la ena vakuo de Taub kun (35) kaj (36).

Ni postulas la tri kondiĉojn de kontinuo

$$\begin{aligned} a_T(h) &= a(h) (= 0), \\ a'_T(h) &= a'(h) (= \frac{1}{3}\kappa \tan(\beta + \kappa h)), \\ b_T(h) &= b(h) (= 0) \end{aligned} \tag{60}$$

kaj havigas

$$\begin{aligned} r &= 1, \\ p &= 1 + \kappa h \tan(\beta + \kappa h), \\ q &= -\kappa \tan(\beta + \kappa h); \end{aligned} \tag{61}$$

la kvara kondiĉo de kontinuo, $b'_T(h) = b'(h)$, rezultas de $a'_T(h) = a'(h)$, kiel (28). Do ni findas, por $z > h$,

$$e^{a_T(z)} = [1 - \kappa(z - h)\tan(\beta + \kappa h)]^{-1/3}, \tag{62}$$

$$e^{b_T(z)} = [1 - \kappa(z - h)\tan(\beta + \kappa h)]^{2/3}, \tag{63}$$

kiuj donas la metrikon de Taub kunatan al la sistemo $\{\beta, \rho, h\}$:

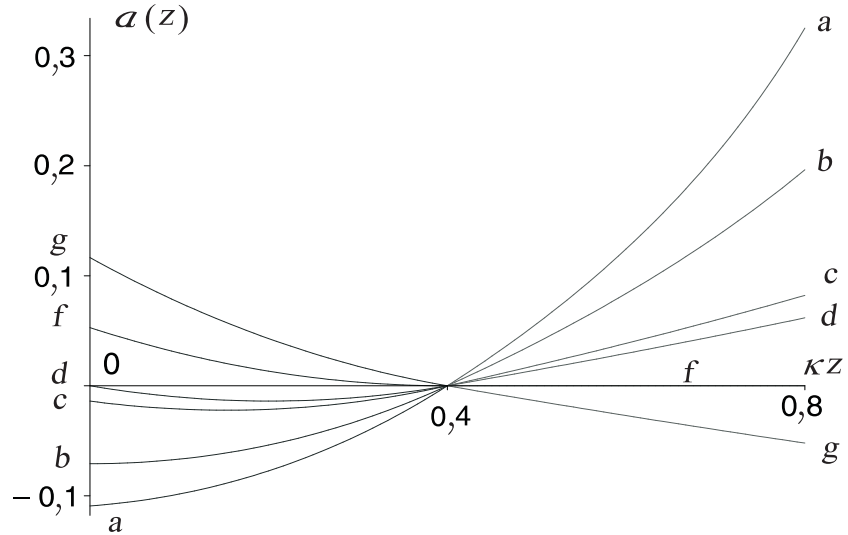
$$\begin{aligned} ds_T^2 &= [1 - \kappa(z - h)\tan(\beta + \kappa h)]^{-2/3} c^2 dt^2 \\ &- [1 - \kappa(z - h)\tan(\beta + \kappa h)]^{4/3} (dx^2 + dy^2) - dz^2. \end{aligned} \tag{64}$$

Se ni komparas la (64) al la (37) ni havigas la rilaton de la konstanto g de akcelo de Taub al la tri parametroj $\{\beta, \rho, h\}$ de la plato:

$$g = \frac{\kappa c^2}{3} \tan(\beta + \kappa h). \tag{65}$$

Kaj se ni skribus $g = 2\pi G\Sigma$, kie Σ estus la tuta surfaca masdenso de la sistemo, ni rehavigus $\Sigma = (\rho/\kappa)\tan(\beta + \kappa h)$, kiel en (28).

Vidu ke *ekzistas Taub-an solvon por iu ajn kombino* $\{\Sigma_0, \rho, h\}$. Bildoj 5 kaj 6 montras kelkajn ekzemplojn, kun $\Sigma_0 >, =, < 0$.



Bildo 5 La potencialo de la fluido (24) kaj de Taub (62) kiel funkcioj de κz , kun $\kappa h = 0,4$. La signo de la derivivo $a'(0)$ estas la signo de la surfaca masdenso Σ_0 , kaj la signo de la derivivo $a'(h)$ estas la signo de $\beta + \kappa h$. Ĉiuj derivivoj $a'(z)$ estas kontinuaj tra $z = h$.

aa $\beta = 0,6$; $\Sigma_0 > 0$, akcelo ĉiam altira kaj kreskanta, nefinhaviĝas en $z = h + \kappa^{-1} \cot(\beta + \kappa h)$;

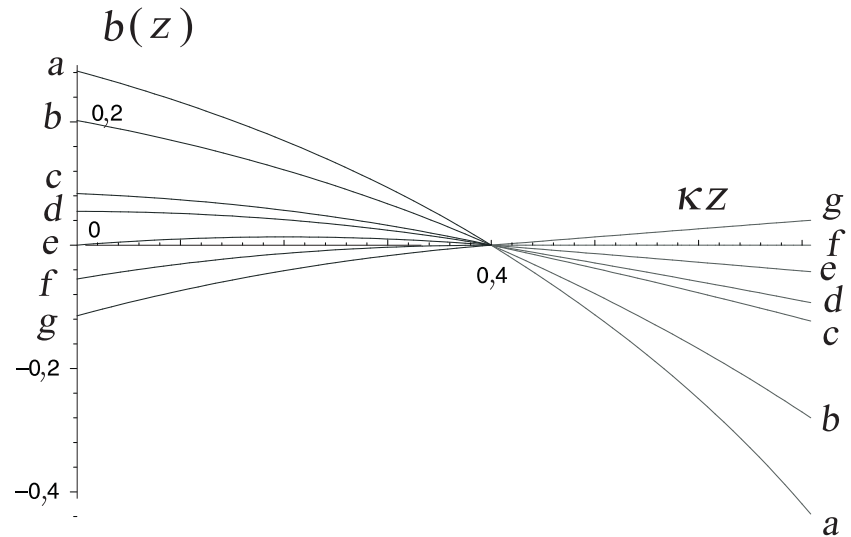
bb $\beta \approx 0,4387$; $\Sigma_0 = 0$, akcelo komence nula, poste kiel en **aa**;

cc $\beta = 0,1$; $-\rho h < \Sigma_0 < 0$, akcelo komence puŝa (kaŭze $\Sigma_0 < 0$), poste kiel en **aa**;

dd $\beta = 0$; $-2\rho h < \Sigma_0 < -\rho h$, $a(0) = 0$, akcelo kiel en **cc**;

ff $\beta = -\kappa h = -0,4$; $\Sigma_0 \approx -2\rho h$, akcelo komence puŝa (kaŭze $\Sigma_0 < 0$), poste nula por $z \geq h$ (Lorentz);

gg $\beta = -0,8$; $\Sigma_0 < -2\rho h$, akcelo ĉiam puŝa (kaŭze la alta valoro de negativa Σ_0), sed malfortiĝas ĝis $z = \infty$.



Bildo 6 La potencialo (21) de la fluido kaj (63) de Taub, kiel funkcioj de κz , por $\kappa h = 0,4$. La signo de la derivivo $b'(0)$ estas mala al de β , kaj la signo de la derivivo $b'(h)$ estas mala al de $\beta + \kappa h$. Ĉiuj derivivoj $b'(z)$ estas kontinuaj tra $z = h$.

aa ($\beta = 0,6$), **bb** ($\beta \approx 0,4387$), **cc** ($\beta = 0,1$), kaj **dd** ($\beta = 0$), ĉiuj havas $b(z)$ ĉiam malkreskantajn;

ee ($\beta = -\kappa h/2 = -0,2$) havas $b(z)$ komence kreskantan, poste malkreskantan;

ff ($\beta = -\kappa h = -0,4$) havas $b(z)$ komence kreskantan, poste nuliĝas por $z \geq h$ (Lorentz);

gg ($\beta = -0,8$) havas $b(z)$ ĉiam kreskantan.

Se $\beta + \kappa h > 0$ (do la (28) faras $\Sigma > 0$), ni vidas ke la metriko de Taub (64) nefinhaviĝas ($g_{00} \rightarrow \infty$, $g_{xx} \rightarrow 0$) en la koordinato $z = z_{max} := h + c^2/(6\pi G\Sigma)$. Vidu ke z_{max} malkreskas kiam Σ kreskas.

Se $\beta + \kappa h \approx 0$ kaj $\kappa(z - h) \approx 0$, la koeficiento $g_{00}(z)$ de la (64) kondukta al la Newton-a potencialo $\phi_{ext}(z)$ de la (9). Fakte, en tiu okazo $\tan(\beta + \kappa h) \approx \beta + \kappa h \approx \kappa\Sigma/\rho$, do

$$[1 - \kappa(z - h)\tan(\beta + \kappa h)]^{-1/3} \approx 1 + \frac{2\pi G\Sigma}{c^2}(z - h). \quad (66)$$

Por malforta kampo $e^{a_T(z)} \approx 1 + \phi_{ext}(z)/c^2$, do la Newton-a potencialo estus

$$\phi_{ext}(z) \approx 2\pi G\Sigma(z - h), \quad (67)$$

kiu efektive koincidas kun (9)–(11).

La (64) degeneras al metriko de Lorentz (71) kiam $\beta + \kappa h = 0$. Ni facile komprenas la kialon: kun $\Sigma = 0$, la gravito nuliĝas.

Fine, se $-\pi/2 < \beta + \kappa h < 0$, la metriko de Taub (64) estas valebla por $h < z < -\infty$.

Rimarku ke, je la kurboj a, b, c, d de la bildo 5, la gradiento $a'_T(z)$ estas pozitiva kaj ĉiam kreskanta; ni refindas ĉi tie la nekomfortan konduton de la altira kampo de Taub ($\Sigma > 0$), kiu estas des pli forta des pli malproksime al la fonto, ĝis z_{max} .

7 Plato kaj vakuo de Rindler

Ni nun kunigas la metrikon de fluido, (20) kaj (24), al la metriko de vakuo de Rindler, (50) kaj (51). Ni postulas la tri kondiĉojn de kontinuo

$$\begin{aligned} a_R(h) &= a(h) (= 0), \\ a'_R(h) &= a'(h) (= \frac{1}{3}\kappa \tan(\beta + \kappa h)), \\ b_R(h) &= b(h) (= 0), \end{aligned} \quad (68)$$

kaj havigas

$$P = 1 - \frac{1}{3}\kappa h \tan(\beta + \kappa h), \quad Q = \frac{1}{3}\kappa \tan(\beta + \kappa h), \quad R = 1; \quad (69)$$

la metriko de Rindler kunigata al sistemo $\{\Sigma_0, \rho, h\}$ do estas, por $|z| > h$,

$$ds_R^2 = [1 + \frac{1}{3}\kappa(|z| - h)\tan(\beta + \kappa h)]^2 c^2 dt^2 - dx^2 - dy^2 - dz^2. \quad (70)$$

Se ni komparas la (70) al la (52), ni findas ke la Rindler-a konstanto de akcelo g denove estas $g = (\kappa c^2/3)\tan(\beta + \kappa h) = 2\pi G\Sigma$, kiel en la Taub-a okazo (65).

Se $0 \leq \beta + \kappa h < \pi/2$, do $\Sigma > 0$ kaj $g > 0$, la koeficiento g_{00} estas fizike bona por $|z| \in (h, \infty)$. Sed se $\beta + \kappa h < 0$, do $\Sigma < 0$ kaj $g < 0$, la koeficiento g_{00} nuliĝas en la plano $z = z_{max} := h + 3\kappa^{-1}\cot|\beta + \kappa h| = h + c^2/|g|$. Vidu ke en la limo $\{\beta + \kappa h, \kappa(z - h)\} \approx 0$ la g_{00} de Rindler (70) koincidas kun la g_{00} de Taub (64), do denove ni havigas la potencialo $\phi_{ext}(z)$ de Newton (9).

En ĉi tiu studo de Rindler ni ne postulis ke la derivoj $g_{xx,z}$ e $g_{yy,z}$ estu kontinuaĵ tra la surfaco $z = h$. Se ni postulas $b'(h) = b'_R(= 0)$, ni havigas en (28) la kondiĉon $\beta + \kappa h = 0$, do $\Sigma = 0$. Tiuokaze la metriko de Rindler (70) degeneras al la de Lorentz,

$$ds^2 = c^2 dt^2 - dx^2 - dy^2 - dz^2. \quad (71)$$

Ni ripetu, *la nura metriko de Rindler kiu perfekte kuniĝas (kun $g_{\mu\nu}$ kaj $g_{\mu\nu,\rho}$ kontinuaĵ) al sistemo $\{\Sigma_0, \rho, h\}$ estas la metriko de Lorentz, kaj la kondiĉo $\beta + \kappa h = 0$, do $\Sigma = 0$, estas postulata.*

Sistemoj $\{\Sigma_0, \rho, h\}$ kun $\beta + \kappa h = 0$ estas atentintaj. La koeficientoj (24) kaj (21), rilataj al la plato, simpliĝas al

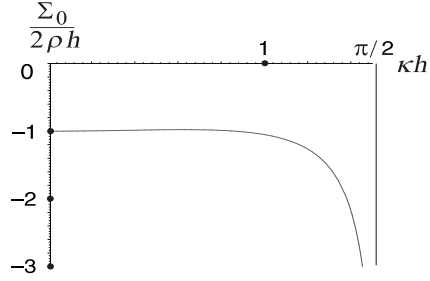
$$e^{a(z)} = 1 + \frac{1}{3}\sin^2\kappa(h - z)\mathcal{F}(\sin^2\kappa(h - z)) \quad \text{por } \beta = -\kappa h, \quad (72)$$

$$e^{b(z)} = \cos^{2/3}\kappa(h - z) \quad \text{por } \beta = -\kappa h. \quad (73)$$

Ni kalkulu Σ_0 kiam $\beta = -\kappa h$, uzante (31) kaj (72):

$$\Sigma_0 = -\frac{3\rho}{\kappa \tan \kappa h} \left(1 + \frac{1}{3} \tan^2 \kappa h - \left[1 + \frac{1}{3} \sin^2 \kappa h \mathcal{F}(\sin^2 \kappa h) \right]^{-1} \right), \text{ por } \beta = -\kappa h. \quad (74)$$

Bildo 7 montras kiel $\Sigma_0/(2\rho h)$ ŝanĝas kun κh . Vidu ke $\Sigma_0 < 0$ por ĉiu $\kappa h > 0$; tiu montras ke ankaŭ en generala relativeco nur negativaj masoj povas malfortigi la graviton de la pozitiva ρ . Speciale vidu ke, en la limo $\kappa h \rightarrow 0$, okazas $\Sigma_0 \rightarrow -2\rho h$; tiu konfirmas ke nur la platoj kun tuta masdenso $\Sigma_0 + 2\rho h = 0$ ampleksas al la vakuo kiel Lorentz.



Bildo 7 La kurbo estas solvo de (74) kaj donas la duopojn $\{\Sigma_0/(2\rho h), \kappa h\}$ kiuj produktas metrikon de Lorentz (71) ekstere la plato. Por $\kappa h < 1$ okazas $\Sigma_0 \approx -2\rho h$, kiu estas la Newton-a kondiĉo. Sed por kreskanta κh , bezonas Σ_0 esti pli kaj pli negativan, por neŭtraliigi la graviton de $2\rho h$.

8 Komentarioj

La metriko de Taub estas ofte simpligata al $g_{00} = z^{-2/3}$, $g_{xx} = g_{yy} = -z^{4/3}$, anstataŭ sub la generala formo (35), (36). Tio simpligata formo kunrespondas al nia $r = 1, p = 0, q = 1$, kiu kunrespondas al tuta masdenso Σ sufiĉe negativa. Tamen, en sekcio 6, bildoj 5 kaj 6, ni pruvis ke *la (generalaj) metriko de Taub permesas ĉiu valoro de $-\infty < \Sigma_0 < \infty$.*

Ni povus anstataŭigi $\Sigma_0 \leftrightarrow$ plato kun unuforma voluma masdenso ρ_0 , kaj $2h_0$ dike. Tiel ni eliminus la surfacan masdenson sur la plano $z = 0$, kaj okazigus ϕ' kaj p' esti kontinuaĵ en la nova regiono. Ni kredas ke la novaj premoj kaj la novaj potencialoj estus similaj al la de ĉi tiu artikolo.

9 Dankoj kaj helpo

Ni kore dankas al kreintoj de Maple, Corel, PCTeX, eps.fig, kiu multe simpligis la kalkulojn kaj la montradon de ĉi tiu verko. Same al ekipoj de Microsoft kaj arxiv.org.

- Uma versão concisa deste artigo, em português, está disponível por e-mail; peça ao autor.

References

- [1] • J L Synge, *Relativity: the general theory* (North-Holland, Amsterdam, 1960); vidu paĝoj IX-X
 - E A Desloge, *Nonequivalence of a uniformly accelerating reference frame and a frame at rest in a uniform gravitational field*, Am J Phys **57** (1989) 1121-1125; vidu la 1^{an} kaj la 2^{an} paragrafon de Introduction
- [2] Vidu aludojn 2 (4 aludoj) kaj 3 (8 aludoj) de Desloge [1]
- [3] • A H Taub, *Isentropic hydrodynamics in plane symmetric space-times*, Phys Rev **103** (1956) 454-467
 - A H Taub, *Approximate solutions of the Einstein equations for isentropic motions of plane-symmetric distributions of perfect fluids*, Phys Rev **107** (1957) 884-900
 - W Israel, *Singular hypersurfaces and thin shells in general relativity*, Nuovo Cimento **46 B** (1966) 1-14
 - J Horský, *The gravitational field of planes in general relativity*, Czech J Phys **B 18** (1968) 569-583

- A Vilenkin, *Gravitational field of vacuum domain walls and strings*, Phys Rev D **23** (1981) 852-857
 - M L Bedran, M O Calvão, I D Soares kaj F M Paiva, *Taub's plane-symmetric vacuum spacetime reexamined*, Phys Rev D **55** (1977) 3431-3439; gr-qc/9608058
 - M F A Silva, A Wang kaj N O Santos, *On the sources of static plane symmetric vacuum space-times*, Phys Letters A **24** (1998) 462-466
 - P Jones kaj L Wanex, *Exact solution for the metric components of constant acceleration*, physics/0409113
- [4]
- J Horský kaj J Novotný, *The exact static exterior and interior metric of a thick plane plate*, J Phys A (Gen Phys) **2** (1969) 251-256
 - J Horský kaj M Horská, *An inhomogeneous thick plate in general relativity*, Acta Phys Polonica **B6** (1975) 171-172
 - R M Avakyan kaj I Horský, *Gravitational field of a flat uniform disk*, Astrofizika **11** (1975) 689-697 (ruslingve, Akademio de Sciencoj de Armenio); anglalingve en Sov Astrophys J **11** (1975) 454-459, de Plenum Pub Corp
 - K A Bronnikov kaj M A Kovalchuk *Properties of static fluid cylinders and plane layers in general relativity*, Gen Rel Grav **11** (1979) 343-355
 - C B Collins, *Static relativistic perfect fluids with spherical, plane, or hyperbolic symmetry*, J Math Phys **26** (1985) 2268-2274
 - J Novotný, J Kučera kaj J Horský, *On the gravitational field of a plane plate in general relativity*, Gen Rel Grav **19** (1987) 1195-1201
 - A D Dolgov kaj I B Khriplovitch, *Does a static solution exist for a gravitating planar wall?*, Gen Rel Grav **21** (1989) 13-16
 - B Jensen kaj J Kučera, *A reinterpretation of the Taub singularity*, Phys Letters A **195** (1994) 111-115; gr-qc/9406035
 - R M Avakyan, E V Chubaryan kaj A H Yeranyan, *"Homogeneous" gravitational field in general relativity?*, gr-qc/0102030
 - D Vogt kaj P S Letelier, *New models of general relativistic static thick disks*, gr-qc/0501103